

## بررسی کارایی برخی از ترکیبات آلی فرار *Trichoderma asperellum* در کنترل عامل کپک خاکستری توت‌فرنگی *Botrytis cinerea*

فرناز جلالی<sup>۱</sup>، دوستمراد ظفری<sup>۲</sup>✉ و هونمن سالاری<sup>۳</sup>

۱ و ۲- به ترتیب دانشجوی دکتری و دانشیار گروه گیاه‌پژوهی، دانشکده کشاورزی، دانشگاه بوعینی سینا، همدان؛ ۳- استادیار گروه زراعت و اصلاح نباتات، دانشکده کشاورزی و منابع طبیعی، دانشگاه رازی، کرمانشاه  
(تاریخ دریافت: شهریور ۱۳۹۵؛ تاریخ پذیرش: شهریور ۱۳۹۵)

چکیده

این مطالعه، به منظور تعیین کارایی ترکیبات آلی فرار *Trichoderma asperellum* در بازداری از رشد میسلیوم و جوانه‌زنی کنیدیوم *Botrytis cinerea* و کنترل پوسیدگی بوتریتیسی میوه‌ی توت فرنگی صورت گرفت. کاهش معنی داری ( $P < 0.01$ ) در قطر پرگنه، درصد جوانه‌زنی کنیدیوم و طول لوله‌های تنفسی *B. cinerea* در تیمارهای درمعرض ترکیبات آلی فرار کشت پنج روزه *T. asperellum* نسبت به شاهد مشاهده شد. ترکیبات آلی فرار تولید شده از محیط کشت‌های پنج روزه *T. asperellum* وقوع و شدت بیماری پوسیدگی بوتریتیسی میوه‌ی توت فرنگی را نیز به میزان معنی داری ( $P < 0.01$ ) کاهش دادند. تکنیک ریزاستخراج فاز جامد همراه با کروماتوگرافی گازی-طیف سنجی جرمی (SPME-GC-MS)، برای بررسی الگوی ترکیبات آلی فرار *T. asperellum* مورد استفاده قرار گرفت. با مقایسه‌ی طیف جرمی با ترکیبات استاندارد موجود در پایگاه داده‌های کتابخانه‌ی NIST/EPA/NIH (NIST05) و تفسیر الگوی شکست و یون‌های مولکولی مربوطه، ۳۴ ترکیب آلی فرار منفرد شناسایی شدند. از میان این ترکیبات، شش ترکیب شامل ایزو بوتیریک اسید، ۱، ۳، ۵، ۷-سیکلواکتا‌ترائن، دی متیل سولفید، پارا-متا-۶، ۸ دین-۲-آل-استات، فنیل اتیل‌کل و ۱-بوتanol-۳-متیل-استات، فراوان ترین بودند. ترکیبات سنتز شده‌ی ایزو بوتیریک اسید و دی متیل سولفید به ترتیب با غلظت بازدارندگی ۵۰٪ (IC50 ۲۶/۵) و ۱۰ میکرو‌لیتر بر لیتر، بیشترین تأثیر را در بازداری از رشد میسلیوم و جوانه‌زنی کنیدیوم *B. cinerea* داشتند.

واژه‌های کلیدی: ترکیبات آلی فرار، زیست‌سنگی، کنترل زیستی، وقوع و شدت بیماری، IC50.

### The efficacy of some volatile organic compounds of *Trichoderma asperellum* in control of *Botrytis cinerea*, the causal agent of strawberry gray mold

F. JALALI<sup>1</sup>, D. ZAFARI<sup>2</sup>✉ and H. SALARI<sup>3</sup>

1, 2. Ph.D. student and Associate Professor of Plant Protection Department, College of Agriculture, Bu-Ali Sina University, Hamedan, Iran; 3. Assistant Professor of Agronomy and Plant Breeding Department, College of Agriculture and Natural Recourses, Razi University, Kermanshah, Iran

#### Abstract

The present study was conducted to determine the efficacy of *Trichoderma asperellum* Volatile Organic Compounds (VOCs) in suppression of mycelial growth and conidial germination of *Botrytis cinerea* and also in control of *Botrytis* fruit rot of strawberry. Significant reduction ( $P < 0.01$ ) in colony diameter, percent of conidial germination and length of germ tubes of *B. cinerea* was observed in treatments exposed to VOCs of 5 days-old *T. asperellum* compared control. The incidence and severity of *Botrytis* fruit rot of strawberry was also significantly ( $P < 0.01$ ) reduced by exposure to the VOCs of 5 day old *T. asperellum* cultures. Solid phase microextraction coupled to gas chromatography-mass spectrometry (SPME-GC-MS) technique was used to study the VOCs profile of *T. asperellum*. Thirty four single VOCs were identified by comparing the mass spectra of the individual VOC with those for the standard compounds deposited in the database of the NIST/EPA/NIH library (NIST05) and interpretation of their fragmentation pattern and their respective molecular ions. Among them, six compounds including isobutyric acid, 1,3,5,7-cyclooctatetraene, dimethyl sulfide, para-menta-6,8,dien-2-ol-acetate, phenyl ethyl alcohol and 1-butanol, 3-methyl-, acetate were the most abundant. Synthetic compounds of isobutyric acid and dimethyl sulfide were the most effective compounds among these compounds in suppression of mycelial growth and conidial germination of *B. cinerea* with IC50 of 26.5 and 10  $\mu$ l/liter, respectively.

**Key words:** Bioassay, Biocontrol, Disease incidence and severity, IC50, Volatile organic compounds.

✉ Corresponding author: zafari\_d@yahoo.com

## مقدمه

فراوان سویه‌های *B. cinerea* مقاوم به قارچ‌کش، کاهش استفاده از قارچ‌کش‌ها را ضروری می‌سازد (Ju *et al.*, 2006). از طرف دیگر، معمولاً میوه‌های تیمار نشده طی مدت ۳ روز پس از برداشت، استانداردهای لازم را از دست می‌دهند و در نتیجه نمی‌توانند به بازار عرضه شوند (Blacharski *et al.*, 2001). درنتیجه، روش‌های کترل دیگری، مانند کترل زیستی، ضروری به نظر می‌رسند.

بعضی از گونه‌های مخمرها و قارچ‌های رشتهدی مانند *Candida Aureobasidium pullulans* (de Bary) G. Arnaud *Candida intermedia* (Cif. & Ashford) Langeron & Guerra *Clonostachys rosea* (Link) Schroers, *oleophila* Montrocher, Samuels, Seifert & W. Gams (= *Gliocladium roseum* Bainer) *Pichia Metschnikowia fructicola* Kurtzman & Drobys *Rhodotorula glutinis* (Fresen.) F. C. guilliermondii Wick. *Trichoderma* spp. *Ulocladium atrum* Preuss, Harrison عوامل موثری برای کترل پوسیدگی بوتریتیسی میوه توت‌فرنگی تحت شرایط پیش یا پس از برداشت میوه هستند. مکانیسم‌های آنتی بیوز، میکوپارازیسم، رقابت برای مواد غذایی و فضا و کترل اسپوروزایی *B. cinerea* برای کترول پوسیدگی بوتریتیسی میوه توت‌فرنگی توسط این عوامل پیشنهاد داده شده است (Lima *et al.*, 1997; Sutton *et al.*, 1997; Tronsmo and Dennis, 1997; Boff *et al.*, 2002; Wszelaki and Mitcham, 2003; Karabulut *et al.*, 2004; Langeron and Guerra, 2007; Huang *et al.*, 2011; Bogumil *et al.*, 2013).

در دهه‌های اخیر، تعامل با واسطه‌ی ترکیبات آلی فرار (VOCs)<sup>۱</sup> بین موجودات زنده مورد توجه قرار گرفته است (Liu and Zhang, 2015). موجودات مختلف، مجموعه‌های متنوعی از ترکیبات کربنی در فاز گازی به نام ترکیبات آلی فرار با جرم مولکولی کمتر از ۳۰۰ دالتون، قطبیت پایین و فشار بخار بالا تولید می‌کنند. این ترکیبات با توجه به اندازه‌ی کوچک خود قادر به انتشار از طریق اتمسفر و خاک بوده و در

میوه‌ی توت‌فرنگی (*Fragaria × ananassa* Duch.) ارزش غذایی بالا و اهمیت اقتصادی زیادی برخوردار است. پوسیدگی بوتریتیسی میوه (BFR) یا کپک خاکستری یکی از بیماری‌های مهم توت‌فرنگی در سراسر جهان است. عامل این بیماری، *Botryotinia fuckeliana* (de Bary) Whetzel (تلومورف: *Botryotinia fuckeliana* (de Bary) Whetzel), یک قارچ بیماری‌زای گیاهی هوازد با شیوه‌ی زندگی نکروتروفی است که به بیش از ۲۰۰ گونه‌ی گیاهی حمله می‌کند (Williamson *et al.*, 2007). این بیمارگر از طریق تولید سموم، انواع اکسیژن فعال<sup>۲</sup> و القای انفجار اکسایشی، توانایی از بین بردن سلول‌های میزان را دارد و به دلیل دارا بودن مجموعه‌ای از آنزیم‌های تجزیه کننده، قادر به تغذیه از بافت‌های گیاهی مختلف است (Choquer *et al.*, 2007). آلدگی در مزرعه، طی دوره‌ی گل‌دهی و به‌شكل بلاست برگ و بلاست شکوفه آغاز شده و در زمان رسیدن میوه، سبب پوسیدگی میوه می‌شود. این بیماری پیش از برداشت هم مهم است، ولی پس از برداشت و در زمان حمل و نقل و ذخیره‌سازی، گسترش و اهمیت بیشتری پیدا می‌کند (Ju *et al.*, 2006). به‌همین دلیل، پوسیدگی بوتریتیسی، یکی از عوامل اصلی محدود کننده‌ی بازار توت‌فرنگی پس از برداشت است (Elad *et al.*, 2007). در ایران، به‌علت عدم اجرای روش‌های نوین برداشت، بسته‌بندی و حمل و نقل، خسارت بیماری پس از برداشت محصول بسیار زیاد بوده و گاهی تا ۲۰ درصد محصول از بین می‌رود (Behdad *et al.*, 2011).

از آنجا که هیچ یک از ارقام توت‌فرنگی در برابر پوسیدگی بوتریتیسی میوه مقاومت زیادی ندارند، کترول کپک خاکستری توت‌فرنگی بیشتر وابسته به کاربرد قارچ‌کش‌ها در مراحل پیش و پس از برداشت است. با وجود این، افزایش نگرانی‌های زیست‌محیطی در مورد اثر باقی‌مانده‌ی قارچ‌کش‌ها بر کیفیت مواد غذایی، سلامت انسان و محیط زیست و ظهور

شرایط درون شیشه‌ای است (Younesi bane, 2009). این نتیجه نشان می‌دهد که *T. asperellum* ممکن است بتواند یک تدخین‌گر زیستی<sup>۲</sup> بالقوه برای کترل پوسیدگی بوتریتیسی میوه‌ی توت فرنگی باشد. بنابراین، هدف از این مطالعه: - تعیین کارایی ترکیبات آلی فرار *T. asperellum* در کترل رشد میسلیوم و جوانه‌زنی کنیدیوم قارچ *B. cinerea* و کترل پوسیدگی بوتریتیسی میوه‌ی توت فرنگی و -۲- شناسایی ترکیبات آلی فرار منتشر شده توسط این جدایه و بررسی اثر برخی از این ترکیبات در بازداری از رشد *B. cinerea* بود.

### روش بررسی

**جدایه‌های قارچی:** جدایه‌ی *T. asperellum* که در این مطالعه مورد استفاده قرار گرفت، با توجه به ویژگی‌های ریخت‌شناسی و توالی DNA ITS ITS1-5.8S (Nazmi, 2006) شناسایی شده بود (rDNA-ITS2 از میوه‌ی آلودهی توت فرنگی نمونه‌برداری شده از *B. cinerea* (خرداد ۱۳۹۲) جداسازی شد. این جدایه بر اساس ویژگی‌های ریخت‌شناسی و با توجه به کلید شناسایی قارچ‌های ناقص (Barnett and Hunter, 1998) شناسایی شد.

**بررسی تأثیر ترکیبات آلی فرار *T. asperellum* بر رشد میسلیوم *B. cinerea*:** این آزمون زیست‌سنگی بر مبنای روش Huang et al. (2011) همراه با تغییراتی صورت گرفت. پنج تیمار شامل: ۱- شاهد، ۲- مایه‌زنی همزمان<sup>۳</sup> + *T. asperellum* (T. asperellum-SI)، ۳- مایه‌زنی همزمان<sup>۴</sup> کربن فعال<sup>۵</sup> (T. asperellum-SI+AC)، ۴- مایه‌زنی غیرهزممان<sup>۶</sup> (T. asperellum-NSI) T. asperellum + *T. asperellum* مایه‌زنی غیرهزممان + کربن فعال (T. asperellum-NSI+AC) در نظر گرفته شد. تیمارهای شاهد،

نتیجه پیام‌سان‌های شیمیابی ایده‌آلی برای دخالت در فرآیندهای مختلف زیستی مانند کترول زیستی یا ارتباط بین میکروارگانیسم‌ها و محیط زندگی آن‌ها هستند (Morath et al., 2012).

تدخین بیولوژیکی یا "بیوفومیگاسیون"<sup>۷</sup> با ترکیبات آلی فرار باکتری‌ها، گونه‌های استرپتومایسیس، قارچ‌های رشتهدی، مخمرها و گیاهان عالی برای از بین بردن طیف گسترده‌ای از عوامل بیماری‌زای انباری و کترول پوسیدگی‌های قارچی موثر بوده است (Mercier and Jiménez, 2004). کترول بیماری‌های *Muscador albus*, *Worapng*, Strobel & W. M. Hess انگور ریش بابا (Actinidia L) و کیوی (Vitis vinifera L) به وسیله‌ی ترکیبات آلی فرار انگور روباه (V. labrusca L) و کترول پوسیدگی بوتریتیسی *Streptomyces* میوه‌ی توت فرنگی توسط ترکیبات آلی فرار C. intermedia C410 و *platensis* F-1 کترول می‌باشند (Kulakiotu et al., 2004a; Kulakiotu et al., 2004b; Mercier and Jiménez, 2004; Mercier and Smilanick, 2005; Schnabel and Mercier, 2006; Wan et al., 2008; Huang et al., 2011; Braun et al., 2012).

ترکیبات آلی فرار برخی از گونه‌های تریکوکدرما، توپانایی کترول بیمارگرهای گیاهی و تحریک رشد گیاهان را دارند (Vinale et al., 2008; Hung et al., 2013). با وجود این، مطالعات کمی در مورد الگوی ترکیبات فرار تریکوکدرما (Stoppacher et al., 2010; Siddiquee et al., 2012) بیولوژیکی مواد فرار این قارچ (Nemčovič et al., 2008; Vinale et al., 2008) منتشر شده است. یونسی بانه گزارش کرد که از میان ۱۰ گونه تریکوکدرمای موجود در کلکسیون قارچ‌شناسی (Samuels, Liechfeldt et Nirenberg, 2008) Trichoderma asperellum میسلیوم *B. cinerea* از طریق تولید ترکیبات آلی فرار در

۲- Biofumigant

۳- Simultaneous Inoculation

۴- Active Carbone

۵- Non-Simultaneos inoculation

۶- Biofumigation

ظروف پتروی پختش شد. این تستک‌های پتروی روی ظروف پتروی حاوی تیمارهای مختلف قرار داده شدند. مجموعه‌های دوظرفی به صورت جداگانه با پارافیلم مسدود شدند. مشابه آزمایش قبل و برای سنجش اثر دما، تیمارها در سه گروه دمایی مورد بررسی قرار گرفتند: گروه یک به مدت ۴۸ ساعت در دمای چهار درجه‌ی سلسیوس، گروه دو به مدت ۴۸ ساعت در دمای ۱۰ درجه‌ی سلسیوس و گروه سه به مدت ۲۴ ساعت در دمای ۲۰ درجه‌ی سلسیوس نگهداری شدند. پس از این مدت، درصد کنیدیوم‌های جوانه‌زده و طول لوله تندشی *B. cinerea* در هر مورد اندازه‌گیری شد. این آزمایش زیست‌سنگی برای هر تیمار سه تکرار داشت و دو بار تکرار شد.

**بررسی تأثیر ترکیبات آلی فرار *T. asperellum* بر کنترل پوسیدگی بوتریتیسی میوه‌ی توت فرنگی:** این آزمایش زیست‌سنگی در دسیکاتورهای شیشه‌ای بسته (حجم حدوداً ۵/۸ لیتر) و در دو مرحله انجام شد. در مرحله‌ی اول، کشت‌های پنج روزه *T. asperellum* روی محیط کشت PDA و در دمای ۲۰ درجه‌ی سلسیوس آماده شدند. مقدار متوسط بیومس زنده‌ی تریکوکردا در هر پتروی، پنج روز پس از مایه‌زنی از طریق شمارش کنیدیوم با کمک لام هموسیتومتر محاسبه شد. درب‌های ظروف پتروی برداشته شد و تعداد دو، *T. asperellum* چهار، شش یا هشت عدد پتروی حاوی کشت در پایین هر دسیکاتور مطابق روش Huang et al. (2011) قرار داده شد. برای تیمار شاهد، دو پتروی حاوی PDA سترون پایین دسیکاتور قرار داده شد. میوه‌های توت فرنگی سالم و رسیده از گیاهان رشد کرده در مزرعه‌ای در روستای نشور وسطی، شهرستان کامیاران، استان کردستان (محل جمع‌آوری بیمارگر) تهیه شد. چهارده عدد میوه‌ی توت فرنگی سالم (عاری از هر گونه زخم) با اندازه‌ی تقریباً مشابه به مدت سه ثانیه در اتانول ۷۰٪ ضدعفونی سطحی شده، در آب مقطر استریل شسته و روی کاغذ صافی استریل خشک شدند. سپس به صورت جداگانه با ۱۰۰ میکرولیتر سوسپانسیون کنیدیوم ( $1 \times 10^5$

شامل پتروی‌های حاوی محیط کشت PDA سترون بودند. برای تیمارهای مایه‌زنی هم‌زمان *T. asperellum*، قرصی به قطر پنج میلی‌متر از میسلیوم در حال رشد *T. asperellum* هم‌زمان با شروع آزمایش در مرکز پتروی‌های حاوی محیط کشت *T. asperellum* قرار داده شد. برای تیمارهای مایه‌زنی غیر‌هم‌زمان *T. asperellum*، پنج روز قبل از شروع آزمایش، قرصی به قطر پنج میلی‌متر از میسلیوم در حال رشد *T. asperellum* در مرکز PDA موجود در ظروف پتروی قرار داده شد و تا زمان شروع آزمایش، کشت‌ها در دمای ۲۰ درجه‌ی سلسیوس نگهداری شدند. کربن فعال به عنوان جاذب ترکیبات فرار *T. asperellum* در تیمارهای مربوطه به کار رفت. به این ترتیب که در هر مورد یک قطعه گاز استریل روی کل سطح PDA مایه‌زنی شده با *T. asperellum* قرار داده شد و مقدار پنج گرم کربن فعال (اندازه ذرات کمتر از ۱۰۰ میکرومتر) Merck (از حاشیه‌ی کشت دو میسلیومی پنج میلی‌متری *B. cinerea*) (از حاشیه‌ی کشت دو روزه‌ی این قارچ) در مرکز محیط کشت، بالای ظروف تیمار قرار داده شدند تا یک مجموعه‌ی دوظرفی ایجاد شود. تمامی مجموعه‌های دوظرفی به صورت جداگانه با پارافیلم مسدود شدند. برای سنجش اثر دما بر تیمارها، تیمارها در سه گروه دمایی مورد بررسی قرار گرفتند: گروه یک به مدت شش روز در دمای چهار درجه‌ی سلسیوس، گروه دو به مدت چهار روز در دمای ۱۰ درجه‌ی سلسیوس و گروه سه به مدت سه روز در دمای ۲۰ درجه‌ی سلسیوس نگهداری شدند. پس از این مدت قطر پرگنه *B. cinerea* در هر مورد اندازه‌گیری شد. این آزمایش زیست‌سنگی برای هر تیمار سه تکرار داشت و دو بار تکرار شد.

**بررسی تأثیر ترکیبات آلی فرار *T. asperellum* بر جوانه‌زنی کنیدیوم *B. cinerea*:** پنج تیمار به شرح آزمایش زیست‌سنگی قبل در این مطالعه در نظر گرفته شد. صد میکرولیتر از سوسپانسیون کنیدیوم *B. cinerea* در آب مقطر ( $1 \times 10^5$  کنیدیوم / میلی‌لیتر) بر سطح محیط کشت WA در

(۱۶×۱۶۰ میلی‌متر-ارتفاع×قطر) قرار داده شد. لوله‌های آزمایش با درپوش‌های لاستیکی و پارافیلم بسته و در دمای ۲۰ درجه‌ی سلسیوس به مدت پنج روز نگهداری شدند. PDA لوله‌های آزمایش یکسان و حاوی محیط کشت تازه‌ی سترون به عنوان شاهد برای ثبت پس‌زمینه‌ی کروماتوگرام (برای ارزیابی مواد نشات گرفته از محیط کشت) مورد استفاده قرار گرفتند.

**ب- آنالیز HS-SPME-GC-MS:** این بخش از آزمایش توسط آفای دکتر بوجار، استادیار بیوشیمی دانشگاه خوارزمی انجام شد. به طور خلاصه، پس از ۱۵ دقیقه متعادل‌سازی لوله‌های شاهد و حاوی کشت قارچ در دمای ۳۰ درجه‌ی سلسیوس، یک فیبر مخصوص میکرواستخراج فاز جامد از جنس پلی دی متیل سیلوکسان (PDMS)<sup>۱</sup> با قطر ۱۰۰ میکرومتر بر روی نگهدارنده (Supelco) تا ۲۱ میلی‌متر و به مدت ۳۰ دقیقه درون لوله‌های آزمایش به صورت کاملاً ثابت قرار گرفت. با این روش ترکیبات آلی فرار از فضای فوقانی کشت *T. asperellum* یا محیط کشت سترون استخراج و تغییل شدند. پس از آن، فیبر از لوله‌های آزمایش خارج شد و به منظور جداسازی ترکیبات آلی فرار داخل درگاه تزریق دستگاه کروماتوگرافی گازی (VARIAN CP3800) با یک ستون کاپیلاری (VARIAN CP SIL8 CB) به طول ۵۰ متر، قطر داخلی ۰/۳۲ میلی‌متر، ضخامت فیلم ۰/۲۵ میکرومتر و متصل به آشکارساز طیفسنج جرمی (VARIAN Saturn 2200) قرار گرفت. هلیوم (با خلوص بسیار بالا) به عنوان گاز حامل به کار رفت و با سرعت جریان ۱/۲ میلی‌لیتر بر دقیقه تنظیم شد. برنامه‌ریزی و تنظیمات دستگاه کروماتوگرافی گازی و طیفسنج جرمی مطابق (Stoppacher *et al.* 2010) صورت گرفت. شناسایی ترکیبات آلی فرار احتمالی با مقایسه‌ی طیفسنج جرمی آن‌ها با ترکیبات استاندارد موجود در پایگاه داده‌های کتابخانه‌ی موسسه ملی استاندارد و فناوری<sup>۲</sup>

کنیدیوم/میلی‌لیتر) روی سطح میوه‌ی توت‌فرنگی مایه‌زنی شدند. این میوه‌ها روی صفحه‌ی سرامیکی متخالخل بالای تشکلهای پتری بدون درب حاوی کشت PDA یا سترون موجود در دسیکاتور قرار داده شدند. درب دسیکاتورها گذاشته و با پارافیلم مسدود شد و در انکوباتور با دمای ۲۰ درجه‌ی سلسیوس تحت یک دوره‌ی نوری ۱۲ ساعت روشنایی و ۱۲ ساعت تاریکی به مدت هشت روز قرار داده شدند. در هر دسیکاتور میوه‌های توت‌فرنگی که علاطم پوسیدگی نرم و کپک خاکستری نشان می‌دادند، به صورت جداگانه برای سنجش شدت بیماری با استفاده از یک مقیاس صفر تا هشت نمره‌ای، مطابق جدول ۱ مورد ارزیابی قرار گرفتند.

مرحله‌ی دوم آزمایش با تکرار آزمایش قبل با سه تیمار و به این ترتیب صورت گرفت که در پایین یکی از دسیکاتورها، هشت پتری حاوی کشت پنج روزه‌ی *T. asperellum* و در یکی دیگر از دسیکاتورها هشت پتری حاوی کشت پنج روزه‌ی *T. asperellum* همراه با کربن فعال قرار داده شد. برای تیمار شاهد نیز هشت پتری حاوی PDA سترون در یک دسیکاتور قرار گرفت. مایه‌زنی میوه‌ها، شرایط نگهداری دسیکاتورها و ارزیابی نتایج مشابه مرحله اول آزمایش بود.

**بررسی الگوی ترکیبات آلی فرار جدایی *T. asperellum* با استفاده از کروماتوگرافی گازی- طیفسنجی جرمی:** آماده‌سازی نمونه و آنالیز فضای فوقانی نمونه به وسیله‌ی تکنیک ریزاستخراج فاز جامد همراه با کروماتوگرافی گازی طیفسنجی جرمی<sup>۳</sup> (HS-SPME-GC-MS) مطابق روش Stoppacher *et al.* (2010) همراه با تغییرات اندکی به شرح زیر صورت گرفت:

**الف- آماده‌سازی کشت *T. asperellum*:** یک حلقه‌ی پنج میلی‌متری از میسلیوم بر مرکز سطح اریب محیط کشت شامل پنج میلی‌لیتر PDA در لوله‌های آزمایش

۲- Polydimethylsiloxane

۳-National Institute of Standards and Technology

۱-Head Space-Solid Phase Micro Extraction-Gas Chromatography-Mass Spectrometry

ظرفی با استفاده از دو لایه پارافیلم برای ایجاد یک محفظه‌ی بسته به حجم ۱۸۰ سانتی‌متر مکعب مسدود شدند. برای شاهد، حجم ۱۰۰ میکرولیتر اتانول خالص روی کاغذ صافی درون پتربار قرار داده شد و پتربار PDA مایه‌زنی شده با حلقه‌ی میسلیوم *B. cinerea* بالای این ظرف قرار گرفت. این مجموعه دو ظرفی نیز با استفاده از دو لایه پارافیلم بسته شد. سه تکرار برای هر تیمار در نظر گرفته شد. مجموعه‌های دو ظرفی به مدت سه روز در دمای ۲۰ درجه‌ی سلسیوس نگهداری شدند. قطر پرگنه‌ی *B. cinerea* در هر مجموعه اندازه‌گیری شد. درصد مهار رشد میسلیوم *B. cinerea* به وسیله‌ی هر ترکیب فرار در هر رقت بر اساس تفاوت قطر پرگنه بین شاهد و تیمار محاسبه شد. غلظت مورد نیاز برای ۵۰ درصد مهار رشد میسلیوم<sup>۳</sup> (IC50) که به صورت میکرولیتر بر لیتر بیان می‌شود، بر مبنای داده‌های مربوط به درصد کنترل و غلظت ترکیب فرار به کار رفته در هر مورد محاسبه گردید.

برای آزمایش مهار جوانه‌زنی کنیدیوم، ۱۰۰ میکرولیتر *B. cinerea* سوسپانسیون کنیدیوم ( $1 \times 10^5$  کنیدیوم/میلی‌لیتر) روى سطح محیط کشت WA در ظروف پتربار (به قطر ۹ سانتی‌متر) پخش شد. پس از برداشتن درب پتربارها، پتربارهای WA مایه‌زنی شده با کنیدیوم *B. cinerea* بالای پتربار حاوی اتانول خالص (شاهد) و یا هر یک از رقت‌های ترکیبات فرار رقیق شده در اتانول خالص قرار گرفت. مجموعه پتربارهای دوتایی با استفاده از پارافیلم مسدود شدند. هر تیمار سه تکرار داشت. پتربارها در دمای ۲۰ درجه‌ی سلسیوس به مدت ۱۲ ساعت نگهداری شدند. درصد جوانه‌زنی کنیدیوم *B. cinerea* انتخاب چند ناحیه و شمارش تصادفی حداقل ۱۵۰ کنیدیوم در هر پتربار زیر میکروسکوپ نوری تعیین شد. هر کنیدیوم، زمانی جوانه‌زده در نظر گرفته می‌شد که طول لوله‌ی تندش آن برابر یا بیشتر از قطر کنیدیوم باشد. درصد مهار جوانه‌زنی کنیدیوم *B. cinerea* توسط هر ترکیب فرار، بر مبنای تفاوت درصد کنیدیوم جوانه‌زده در پتربار شاهد و پتربار حاوی آن

(NIST)/EPA/NIH (NIST05) و پایگاه داده‌های طیف جرمی (وایلی<sup>۱</sup>) و تفسیر الگوی شکست و یون‌های مولکولی مربوطه انجام شد. آنالیز ترکیبات آلی فرار در نمونه‌ی کشت ترکیب‌های مشترک شناسایی شده در کشت *T. asperellum* و محیط کشت سترون از فهرست ترکیب‌های نهایی حذف شدند. لازم به ذکر است که ترکیباتی که به این صورت مورد شناسایی قرار می‌گیرند به صورت ترکیبات شناسایی شده به صورت آزمایشی (TICs)<sup>۲</sup> گزارش می‌شوند.

#### بررسی تأثیر ترکیبات آلی فرار منتخب *T. asperellum*

بر رشد *B. cinerea*: شش ترکیب که در الگوی ترکیبات آلی فرار تولید شده توسط *T. asperellum* فراوان‌ترین بودند، برای بررسی اثرات آن‌ها بر بیمارگر *B. cinerea* انتخاب شدند (جدول ۲). محصولات سنتز شده‌ی این ترکیبات از شرکت Shimyi راد آروین خریداری و به صورت جداگانه برای مهار رشد میسلیوم و جوانه‌زنی کنیدیوم *B. cinerea* مطابق روش Haung et al. (2011) مورد بررسی قرار گرفتند.

در آزمایش مهار رشد میسلیوم، یک حلقه‌ی میسلیومی از حاشیه‌ی پرگنه‌ی کشت دو روزه‌ی *B. cinerea* روی محیط کشت PDA جداسازی و در پتربار دیگری (به قطر ۹ سانتی‌متر) حاوی محیط کشت PDA مایه‌زنی شد. هم‌زمان، یک تکه کاغذ صافی (با ابعاد  $1/5 \times 1/5$  سانتی‌متر) در مرکز پتربارهای دیگر حاوی محیط کشت PDA قرار داده شد. ترکیبات فرار (جدول ۲) به صورت جداگانه به میزان ۰/۱، ۰/۵، ۱، ۲/۵، ۵، ۱۰ و ۱۵٪ (حجم/حجم) با اتانول خالص رقیق شدند. مقدار ۱۰۰ میکرولیتر از محلول رقیق شده‌ی هر یک از این ترکیبات روی قطعه کاغذ صافی موجود در پتربار فرار داده شد. با برداشتن درب پتربارها، پتربارهای PDA مایه‌زنی شده با میسلیوم *B. cinerea* بالای پتربارهای حاوی ترکیبات فرار مورد بررسی قرار گرفتند. مجموعه‌های دو

۱-Mass Spectral Database (Wiley 7)

۲-Tentatively Identified Compounds

ترکیب فرار به کار رفته در مجموعه پتری‌های دوتایی به دست آمد.

ترکیب محاسبه شد. مقدار IC<sub>50</sub> برای هر ترکیب فرار، بر مبنای داده‌های مربوط به درصد مهار جوانه‌زنی کنیدیوم و غلظت

جدول ۱- مقیاس صفر تا هشت نمره‌ای برای ارزیابی شدت بیماری پوسیدگی بوتریتیسی میوه‌های توتفرنگی (Huang et al., 2011)

Table 1. A scale of 0 to 8 to rate disease severity of strawberry botrytis fruit rot (Huang et al., 2010)

Rate of Disease Severity	0	1	2	3	4	5	6	7	8
Percent of the area rotted	0 (Healthy fruit)	<12.5	12.6 to 25.0	25.1 to 37.5	37.6 to 50.0	50.1 to 62.5	62.6 to 75.0	75.1 to 87.5	87.6 to 100%

جدول ۲- ترکیبات آلی فرار مورد استفاده در این مطالعه برای آزمایش فعالیت ضدقارچی در برابر *Botrytis cinerea*

Table 2. Volatile organic compounds used for testing antifungal activity against *Botrytis cinerea* in this study

Compound	Synonyms	Code	Grade/Purity (%)
1-Butanol, 3-methyl-, acetate	Isoamyl alcohol, Isopentyl alcohol	309435 Sigma-Aldrich	anhydrous, ≥99%
1,3,5,7-Cyclooctatetraene		138924 Aldrich	98%
Dimethyl sulfide	DMS, Methyl sulfide	274380 Sigma-Aldrich	anhydrous, ≥99.0%
Isobutyric acid	2-Methylpropionic acid	I1754 Sigma	99%
Para-menta-6,8,dien-2-ol-acetate	Carvyl acetate	W225002 Aldrich	Food Grade, ≥98%,
Phenyl ethyl alcohol	β-PEA, 2-Phenylethanol, 2-Phenylethyl alcohol, Benzyl carbinol, PEA	W285811 Aldrich	Food Grade, ≥99%,

ترکیبات آلی فرار حاصل از مایه‌زنی هم‌زمان *T. asperellum* معنی‌دار بود ( $p < 0.01$ ). اثر بازدارنده‌ی تیمار ترکیبات آلی فرار *B. cinerea* بر رشد *T. asperellum* در صورت استفاده از کربن فعال خشی می‌شد (شکل ۱(A)).

#### بازداری از جوانه‌زنی کنیدیوم *B. cinerea* توسط ترکیبات آلی فرار

ترکیبات آلی فرار *T. asperellum*: درصد جوانه‌زنی و طول لوله تندشی کنیدیوم‌های *B. cinerea* در پتری‌های *T. asperellum* در همه دماهای مورد بررسی کاهش می‌یافتد. این کاهش، در مقایسه با تیمار شاهد و تیمار با ترکیبات آلی فرار حاصل از مایه‌زنی هم‌زمان *T. asperellum* معنی‌دار بود ( $p < 0.01$ ). تیمار ترکیبات آلی فرار حاصل از مایه‌زنی هم‌زمان *T. asperellum* نیز در دماهای ۱۰ و ۲۰ درجه‌ی سلسیوس طول لوله تندشی کنیدیوم‌های *B. cinerea* را نسبت به شاهد کاهش داد، ولی بر درصد جوانه‌زنی تأثیری نداشت ( $p > 0.01$ ). کاربرد کربن فعال اثر بازدارنده‌ی را تا حد زیادی خشی می‌کرد (شکل B1 و C). نوع، نسبت و غلظت ترکیبات آلی فرار با توجه به گونه‌ی تولید کننده و سن آن، نوع محیط کشت و شرایط محیطی تغییر پیدا می‌کند (Wheatley et al., 1997).

تجزیه و تحلیل آماری داده‌ها: آزمایش‌ها در قالب طرح کاملاً تصادفی انجام شدند. برای تجزیه‌های آماری مربوط به این پژوهش از نرم‌افزارهای مایکروسافت اکسل<sup>۱</sup> (۲۰۱۰)، SAS (نسخه‌ی ۹/۱) و SPSS (نسخه‌ی ۱۷) استفاده شد. تجزیه‌ی واریانس و مقایسه‌ی میانگین داده‌های مربوط به قطر پرگنه، درصد کنیدیوم جوانه‌زده، طول لوله تندشی، وقوع بیماری و شدت بیماری پس از ورود به اکسل با کمک نرم‌افزار SAS و آزمون چند دامنه‌ای دانکن انجام شد. تعیین IC<sub>50</sub> با کمک نرم‌افزار SPSS و رگرسیون پروبیت<sup>۲</sup> در سطح احتمال ۹۵٪ صورت گرفت.

#### نتیجه و بحث

بازداری از رشد میسلیوم *B. cinerea* توسط ترکیبات آلی فرار *T. asperellum*: متوسط قطر پرگنه‌ی *B. cinerea* در تیمارهای در معرض ترکیبات آلی فرار کشت پنج روزه‌ی *T. asperellum* در همه‌ی دماهای مورد بررسی کاهش می‌یافتد. این کاهش، در مقایسه با تیمار شاهد و تیمار با

۱-Microsoft Excel

۲-Probit regression

فعال از بین رفت (شکل ۲ و ۴). نتیجه‌ی مشابهی درنتیجه‌ی کاربرد ترکیبات آلی فرار مخمر *Candida intermedia* برای بازداری از رشد *B. cinerea* روی میوه‌ی توتفرنگی مشاهده شده بود (Huang et al., 2011). درنتیجه ترکیبات آلی فرار *T. asperellum* نیز ممکن است نوید بخش ترکیب تدبیخنی زیستی نوینی برای کترل پوسیدگی بوتریتیسی پس از برداشت میوه‌ی توتفرنگی باشد.

#### الگوی ترکیبات آلی فرار *T. asperellum*: با حذف

ترکیبات مشترک ردیابی شده در نمونه‌ی شاهد و مقایسه‌ی طیف جرمی هر ترکیب با ترکیبات استاندارد موجود در پایگاه داده‌ها و تفسیر الگوی شکست و یون‌های مولکولی مربوطه، مجموعاً ۳۴ ترکیب آلی فرار احتمالی با بیش از ۷۰٪ مطابقت، توسط آنالیز GC-MS از کشت پنج روزه‌ی *T. asperellum* تشخیص داده شدند. از آنجاکه شناسایی تنها از طریق تفسیر الگوی شکست در کتابخانه‌های دستگاه GC-MS با احتمال خطای ۳٪ صورت گرفت و از مقایسه زمان‌های بازداری نرمال آکان‌ها استفاده نشد، ممکن است برخی از ترکیبات به درستی تشخیص داده نشده باشند. با این حال ترکیبات ذکر شده در جدول متعلق به کلاس ترکیبات آلی اترها، استرهای الكل‌ها، آلکن‌ها، آلکین‌ها، اسیدهای آلی، کتون‌ها، آلدید فوران‌ها، مونوترپن‌ها، سرکوئی ترپن‌ها، پیرازین‌ها و ترکیبات گوگردی آلی بودند. فراوانترین ترکیب در این الگو، ترکیب آلی ایزوپوتیریک اسید با مساحت نسبی پیک ۱۱/۲۶ درصد بود. بعد از این ترکیب، به ترتیب ترکیب‌های ۱، ۳، ۵، ۷-سیکلواکتاوترائن، دی متیل سولفید، پارا-متا-۶، ۸ دین-۲-ال-استات، فنیل اتیل الكل و ۱-بوتanol-۳-متیل-استات بیشترین فراوانی تولید را داشتند (مساحت نسبی پیک بیش از ۰/۵٪) (جدول ۳). برای شناسایی دقیق‌تر ترکیبات آلی پیشنهاد می‌شود که در ادامه‌ی تحقیقات از روش اندیس بازداری برنامه‌ریزی دمایی (LTPRI<sup>1</sup>) استفاده گردد و همچنین جهت استخراج بهتر ترکیبات فرار، جاذب بهینه برای ریز استخراج

نتایج مطالعه‌ی ما نیز، اهمیت سن کشت قارچی و دما را به عنوان دو فاکتور مهم برای اثرگذاری ترکیبات آلی فرار *T. asperellum* بر بازداری از رشد *B. cinerea* تایید می‌کند. مایه‌زنی همزمان این قارچ نتوانست درصد جوانه‌زنی کنیدیوم بیمارگر را در هیچ یک از دماهای مورد بررسی کاهش دهد. کاهش طول لوله تندشی کنیدیوم‌های *B. cinerea* در حضور ترکیبات آلی فرار متشر شده از مایه‌زنی همزمان *T. asperellum* نسبت به تیمارهای شاهد، تنها در دمای ۱۰ و ۲۰ درجه‌ی سلسیوس رخ داد. با این وجود، میزان بازداری از رشد بیمارگر در این تیمار نسبت به کشت پنج روزه‌ی *T. asperellum* به میزان معنی‌داری در سطح پایین‌تری قرار داشت. چنین نتیجه‌های می‌تواند با یافته‌های Stoppacher et al. (2010) قابل توجیه باشد که گزارش کردند در *T. atroviride* تولید بیشتر ترکیبات آلی فرار همزمان با شروع کنیدیوم‌زایی (بین ۷۸ تا ۱۰۲ ساعت پس از مایه‌زنی و در دمای مناسب رشد) به اوج خود می‌رسد و بعد از روز پنجم به تدریج کاهش پیدا می‌کند.

#### تأثیر ترکیبات آلی فرار *T. asperellum* بر کترل

پوسیدگی بوتریتیسی میوه‌ی توتفرنگی: هشت روز پس از شروع آزمایش، همه‌ی میوه‌های توتفرنگی در معرض تیمار شاهد (PDA) علائم پوسیدگی نرم و کپک خاکستری نشان دادند. شدت علائم در بیشتر این میوه‌ها به نمره‌ی ۸ رسید.

در حضور ترکیبات آلی فرار متشر شده از کشت‌های پنج روزه *T. asperellum* و با افزایش تعداد پتری‌ها به شش و هشت پتری، به ترتیب درصد وقوع بیماری به ۸۶ و ۳۶ و نمره‌ی شدت بیماری به ۴/۹۲ و ۲/۷۸ کاهش یافت. این کاهش، در مقایسه با شاهد معنی‌دار ( $p < 0.01$ ) بود (شکل ۲ و ۳). پنج روز پس از مایه‌زنی، مقدار بیومس زنده‌ی *T. asperellum* در هر پتری محاسبه گردید. اثر بازدارنده‌ی ترکیبات آلی فرار در گسترش بیماری درنتیجه‌ی کاربرد *T. asperellum* بر

۱- LTPRI: Linear Temperature Programmed Retention Index

توسط بقیهٔ ترکیبات، غلظت‌های بالاتر از ۱۰۰ میکرولیتر بر لیتر مورد نیاز بود (جدول ۴).

با توجه به اینکه ترکیب  $\alpha$ -آمینوایزو بوتیریک اسید به عنوان پیش‌ساز پیتیدهای ضد میکروبی (Wallace and Whitmore, 2004) در گونه‌های تریکودرما شناخته شده است، ممکن است بتواند نقش ایزو بوتیریک اسید را در بازداری از رشد میسلیوم *B. cinerea* توجیه کند. این ماده پیش از این به عنوان یکی از دو ماده اصلی در الگوی ترکیبات فرار *Muscodor albus* شناخته شده بود و اثر آن در بازداری از رشد چند قارچ مولد مایکوتوكسین به اثبات رسیده است (Mercier et al., 2005).

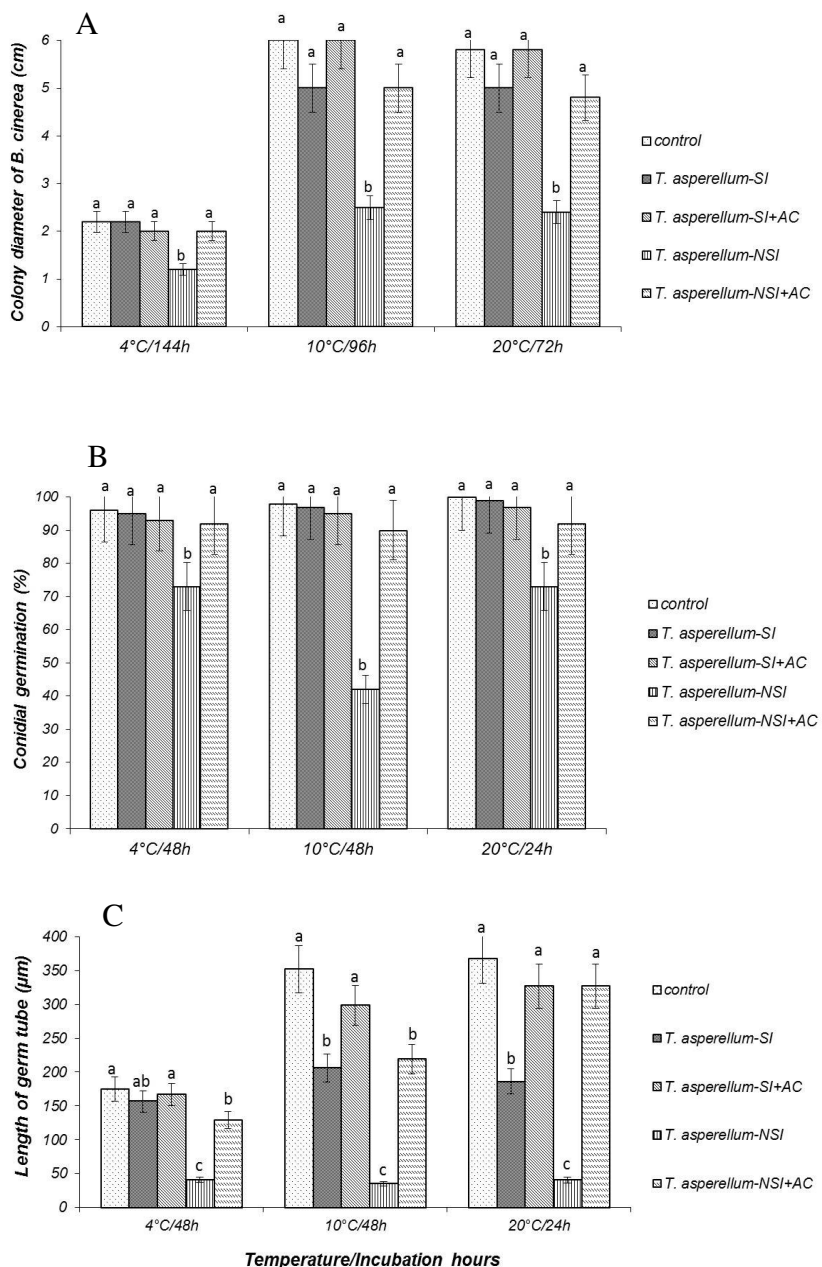
فاز جامد انتخاب شود و پس از معتبر سازی آن، شناسایی ترکیبات صورت پذیرد.

**فعالیت ضد قارچی محصولات سنتز شدهٔ ترکیبات آلی فار متخب** *T. asperellum* از میان محصولات سنتز شدهٔ شش ترکیب با بیشترین فراوانی تولید توسط *T. asperellum*، دو ترکیب ایزو بوتیریک اسید و دی میتل سولفید، با IC<sub>50</sub> ۲۶/۵ و ۱۰ میکرولیتر بر لیتر، به ترتیب بیشترین تأثیر را در بازداری از رشد میسلیوم و جوانه‌زنی کنیدیوم *B. cinerea* داشتند. ترکیب ۱، ۳، ۵، ۷-سیکلو اکتا ترائین از نظر بازداری از رشد میسلیوم *B. cinerea* در جایگاه بعدی قرار داشت. برای بازداری از رشد

جدول ۳- ترکیبات آلی فار متشر شده از *Trichoderma asperellum*Table 3. VOCs released from *Trichoderma asperellum*

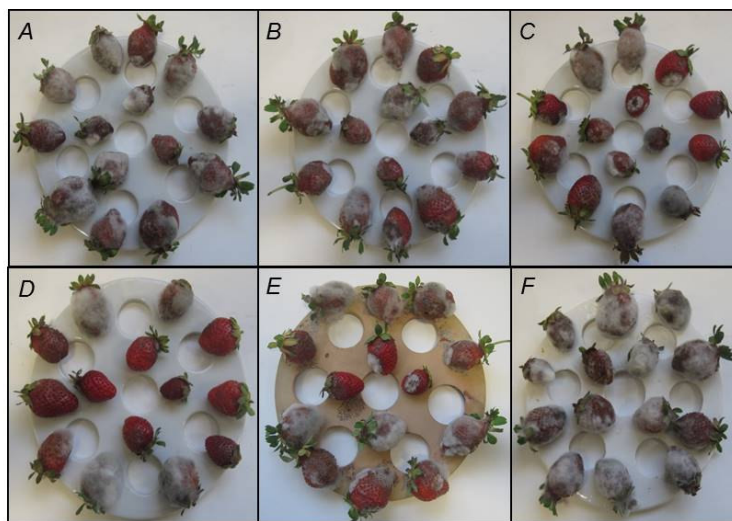
Pick no.	RT (Min)	Possible Compound (TICs)	RA(%)	MW (Da)
1	2.10	1-hexanol	0.81	102
2	2.55	2-hexanone	1.19	100
3	3.68	1-Tridecyne	0.92	180
4	4.01	2-pentanol	1.44	88
5	4.73	3-Octanol	1.07	144
6	4.95	3-Octyne	0.85	110
7	5.26	1-Octen-3-ol	2.63	128
8	5.66	Dimethyl sulfide	8.89	62
9	6.43	2-methoxy propene	1.07	72
10	6.72	Alpha-pinene	3.50	136
11	7.21	Sabinene	0.84	136
12	7.64	1,3,4-Hexatriene,3-methoxy	1.43	110
13	7.82	1,8-cineole	1.54	154
14	7.95	Isobutyric acid	11.26	88
15	8.04	2-hydroxy ethyl propionate	2.16	118
16	8.36	Ethyl acetate	1.28	88
17	8.53	3-ethyl-heptane	2.69	120
18	9.26	Propanoic acid ethylester	1.86	102
19	11.40	Ethyl pentanoate	1.13	130
20	12.51	Dimethyl disulfide	1.45	94
21	16.43	1-Butanol-3-methyl-acetate	5.10	130
22	17.21	2-Methyl furan	1.06	82
23	17.46	Isopentyl ether	1.73	158
24	17.81	1,3,5,7-cycloocta tetraene	9.25	104
25	19.21	Para-menta-6,8,dien-2-ol-acetate	5.92	194
26	20.63	2-hydroxyethyl octanoate	1.34	188
27	21.53	Pentanoic acid,4-methyl-ethyl ester	1.10	144
28	22.40	Alpha-farnesene	1.03	204
29	24.11	10,12-octadecadiynoic acid	1.65	276
30	27.4	Dihydro carveol acetate	2.95	196
31	28.1	2,6-diethyl Pyrazin	1.84	136
32	30.31	Caryophyllen oxide	1.05	220
33	31.5	Phenyl ethyl alcohol	6.48	122
34	33.1	2-methyl-isoborneol	1.50	169

RT: زمان نگهداری در کروماتوگرافی گازی-طیف‌سنگی جرمی؛ TICs: ترکیبات شناسایی شده به صورت آزمایشی؛ RA: مساحت نسبی پیک؛ MW: وزن مولکولی  
RT: Retention time in gas chromatography–mass spectrometry; TICs: Tentatively Identified Compounds; RA: relative peak area; MW: molecular weight.



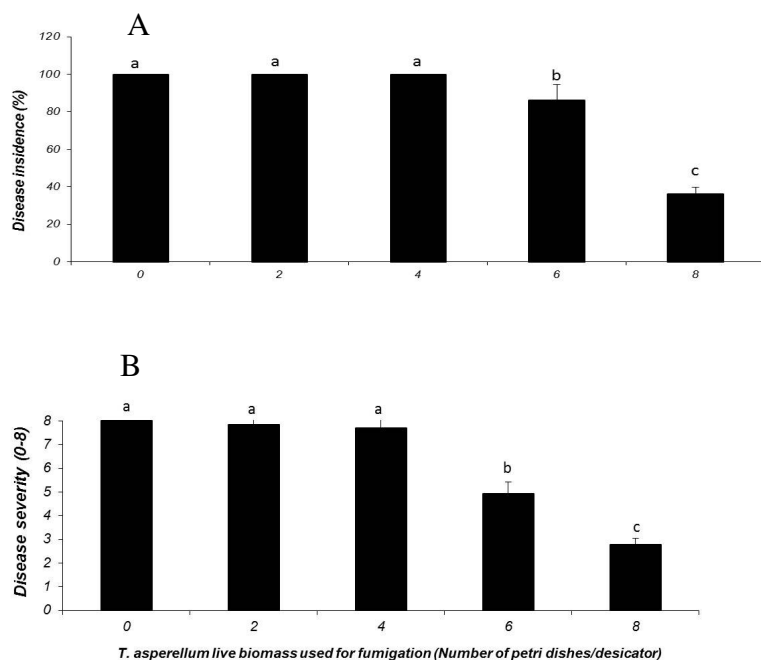
شکل ۱- اثر ترکیبات آلی فرار تولید شده توسط کشت همزمان *T. asperellum* (*T. asperellum*-SI)، کشت همزمان *T. asperellum*+کربن فعل (T. asperellum-NSI+AC)، کشت پنج روزه *T. asperellum* (T. asperellum-NSI) و کشت پنج روزه *T. asperellum*+کربن فعل (T. asperellum-SI+AC) بر A- قطر پرگنه، B- جوانهزنی کنیدیوم و C- طول لوله تندشی *Botrytis cinerea* تحت دماهای مختلف. مقادیر میانگین تیمارهای مختلف در هر دما با حروف متفاوت، نشان‌دهندهٔ تفاوت معنی‌دار ( $P < 0.01$ ) برمبنای آزمون چند دامنه‌ای دانکن است.

**Fig. 1.** Effects of the VOCs produced by *T. asperellum*-SI, *T. asperellum*-SI+AC, *T. asperellum*-NSI and *T. asperellum*-NSI+AC treatments on A- colony diameters, B- conidial germination and C- germ-tube extension of *Botrytis cinerea* under different temperatures. Mean values for different treatments at each temperature labeled with different letters indicate significant difference ( $P < 0.01$ ) according to Duncan's multiple range test.



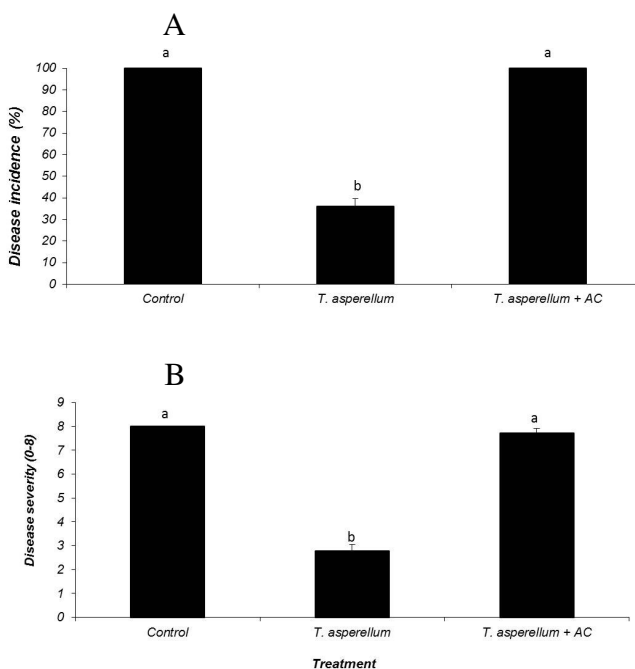
شکل ۲- اثر ترکیبات آلی فرار *Trichoderma asperellum* بر کاهش وقوع و شدت پوسیدگی بوتریتیسی میوهی توتفرنگی (۲۰ درجه سلسیوس، هشت روز). مقدار بیومس زنده‌ی *T. asperellum* در هر دسیکاتور به صورت A- دو پتری، B- چهار پتری، C- شش پتری، D- هشت پتری، E- هشت پتری+کربن فعال و F- هشت پتری حاوی PDA ستون با شاهد بود.

**Fig. 2.** Effect of the VOCs of *Trichoderma asperellum* on reduction of incidence and severity of strawberry botrytis fruit rot (20°C, 8 days). Amount of *T. asperellum* live biomass (number of petri dishes per desiccator) was as follow: A- two petri dishes, B- four petri dishes, C- six petri dishes, D- eight petri dishes, E- eight petri dishes+active carbon and F- eight petri dishes including sterile PDA (control).



شکل ۳- اثر ترکیبات آلی فرار *Trichoderma asperellum* بر A- کاهش وقوع و B- شدت پوسیدگی بوتریتیسی میوهی توتفرنگی (۲۰ درجه سلسیوس، ۸ روز). مقدار میانگین تمارهای مختلف در هر دما با حروف متفاوت، نشان‌دهنده تفاوت معنی‌دار ( $P < 0.01$ ) بر مبنای آزمون چند دامنه‌ای دانکن است.

**Fig. 3.** Effect of the VOCs of *Trichoderma asperellum* on reduction of A- incidence and B- severity of strawberry botrytis fruit rot (20°C, 8 days). Mean values for different treatments at each temperature labeled with different letters indicate significant difference ( $P < 0.01$ ) according to Duncan's multiple range test.



شکل ۴- اثر ترکیبات آلی فرار *Trichoderma asperellum* و ترکیبات آلی فرار *T. asperellum* همراه با کربن فعال بر A- کاهش وقوع و B- شدت پوسیدگی بوتیریتیسی میوه‌ی توت‌فرنگی (۲۰ درجه‌ی سلسیوس، ۸ روز). مقادیر میانگین تیمارهای مختلف در هر دما با حروف متفاوت، نشان‌دهندهٔ تفاوت معنی‌دار ( $P < 0.01$ ) بر مبنای آزمون چند دامنه‌ای دانکن است.

**Fig. 4.** Effect of the VOCs of *Trichoderma asperellum* and the VOCs of *T. asperellum* plus activated carbon (AC) on reduction of A- incidence and B- severity of strawberry botrytis fruit rot (20°C, 8 days). Mean values for different treatments at each temperature labeled with different letters indicate significant difference ( $P < 0.01$ ) according to Duncan's multiple range test.

جدول ۴- مقادیر غلظت بازدارندگی ۵۰٪ ترکیبات آلی فرار سنتز شده برای بازداری از رشد میسلیوم و جوانه‌زنی کنیدیوم *Botrytis cinerea*

**Table 4.** Values of the 50% inhibition concentration (IC50) of the synthetic volatile organic compounds for suppression of mycelial growth and conidial germination of *Botrytis cinerea*

Compound	IC50 value (mean) (µl/liter)	
	Mycelial Growth	Conidial Germination
1-Butanol, 3-methyl-acetate	143.55	154.33
1,3,5,7-Cyclooctatetraene	89.68	147.77
Dimethyl sulfide	73.74	10.01
Isobutyric acid	26.51	94.27
Para-menta-6,8,dien-2-ol-acetate	433.88	118.27
Phenyl ethyl alcohol	360.72	553.35

با توجه به نتایج مثبت حاصل از کاربرد این ترکیب منفرد برای بازداری از رشد بیمارگر، آزمایش‌های تکمیلی با استفاده از ترکیب استاندارد ماده برای کمیت سنجی تولید آن توسط کشت‌های *T. asperellum* قابل توصیه است. ترکیب دی متیل سولفید از گونه‌های متنوعی از *Tuber* spp. گزارش شده بود و

ولی گزارشی از بررسی نقش بیولوژیکی آن در دست نیست. ترکیب پارامتا-۶، ۸ دین-۲-آل-استات ترکیب جدیدی محسوب می‌شود که گزارش قبلی در مورد منشا میکروبی برای آن وجود ندارد. سه ترکیب دیگر از مخمص *Candida intermedia* گزارش شده بودند و

## References

- BARNETT, H. L. and B. B. HUNTER, 1998. Illustrated genera of imperfect fungi. 4<sup>ed</sup>. APS Press, Saint Paul, Minnesota, USA.
- BEHDAD, M., N. ETEMADI, E. BEHDAD and H. ZEINALI, 2011. The Study of Antifungal *Satureja hortensis* on the *Botrytis cinerea* and Effect on Strawberry Postharvest Physiology. In: National Conference on New Ideas in Agriculture, 5-16 Febuary, Khorasgan Branch, Islamic Azad University of Isfahan, Iran. (In Persian with English summary).
- BLACHARSKI, R. W., J. A. BARTZ, C. L. XIAO and D. E. LEGARD, 2001. Control of postharvest botrytis fruit rot with pre-harvest fungicide applications in annual strawberry. Plant Disease, 85: 597-602.
- BOFF, P., J. KÖHL, M. JANSEN, P. J. F. M. HORSTEN, C. LOMBAERS-VAN DER PLAS and M. GERLAGH, 2002. Biological control of gray mold with *Ulocladium atrum* in annual strawberry crops. Plant Disease, 86: 220-224.
- BOGUMIL, A., L. S. PASZT, A. LISEK, P. TRZCIŃSKI, and H. HARBUZOV, 2013. Identification of new Trichoderma strains with antagonistic activity against *Botrytis cinerea*. Folia Horticulturae, 25: 123-132.
- BRAUN, G., M. VAILATI, R. PRANGE and E. BEVIS, 2012. *Muscodor albus* Volatiles Control Toxigenic Fungi under Controlled Atmosphere (CA) Storage Conditions. International Journal of Molecular Sciences, 13: 15848-15858.
- CHOQUER, M., E. FOURNIER, C. KUNZ, C. LEVIS, J. M. PRADIER, A. SIMON and M. VIAUD, 2007. *Botrytis cinerea* virulence factors: new insights into a necrotrophic and polyphagous pathogen. FEMS Microbiology Letters, 227: 1-10.
- ELAD, Y., B. WILLIAMSON, P. TUDZYNSKI and N. DELEN, 2007. *Botrytis* spp. and Diseases They Cause in Agricultural Systems – An Introduction, In: ELAD, Y., WILLIAMSON, B., TUDZYNSKI, P. and DELEN, N. (eds.) *Botrytis: Biology, Pathology and Control*. Springer, Dordrecht, the Netherlands. pp. 1-16.

موثر بودن آن‌ها برای مهار *B. cinerea* عامل کپک خاکستری توت‌فرنگی، در آزمایش مشابهی اثبات گردیده بود (Hung et al., 2011). با این وجود، ترکیب فنیل اتیل الکل در آزمایش‌های ما اثر بازدارندگی مناسبی بر رشد میسلیوم یا جوانه‌زنی کنیدیوم نشان نداد. از این شش ترکیب، فنیل اتیل الکل قبلاً از *T. atroviride* (Stoppacher et al., 2010) گزارش شده بود و بقیه برای اولین بار از یک گونه تریکوودرما گزارش می‌شوند.

**نتیجه‌گیری کلی:** نتایج این مطالعه نشان داد که برخی از ترکیبات آلی فرار تولید شده توسط کشت پنج روزه‌ی *T. asperellum* می‌توانند از طریق بازداری از رشد میسلیوم و جوانه‌زنی کنیدیوم *B. cinerea* این بیماری‌گر را روی محیط کشت و میوه‌ی توت‌فرنگی مهار کنند. درنتیجه، تولید ترکیبات آلی فرار ضد قارچی توسط *T. asperellum* می‌تواند مکانیسم مهمی برای کنترل آلدگی بافت‌های گیاهی توسط *B. cinerea* در شرایط کنترل شده محسوب شود. بنا به گزارش اداره‌ی European Food Safety Authority, (www.efsa.europa.eu/efsajournal, 2013) داده‌های کافی برای نتیجه‌گیری قطعی در مورد احتمال ایجاد حساسیت، مسمومیت یا بیماری‌زاوی درنتیجه‌ی استنشاق محصولات بیولوژیکی حاصل از سویه‌های *T. asperellum* مورد بررسی و تعیین میزان مجاز استفاده از آن‌ها در محصولات وجود ندارد. هرچند، با درنظر گرفتن این‌که میکروب‌ها معمولاً قابلیت ایجاد واکنش‌های حساسیت‌زا را دارا هستند، بر لزوم آزمایش‌های دقیق در این زمینه تأکید می‌شود. نتایج مطالعه‌ی ما برخی از ترکیبات آلی فرار *T. asperellum* را به عنوان یک مکانیسم تدخینی بالقوه برای کنترل پوسیدگی بوتریتیسی پس از برداشت میوه‌ی توت‌فرنگی معروفی می‌کند. با این وجود، تا حصول اطمینان از عدم مخاطرات احتمالی برای سلامتی انسان و محیط زیست، آزمایش‌های بیشتری مورد نیاز خواهد بود.

- HUANG, R., G. Q. LI, J. ZHANG, L. YANG, H. J. CHE, D. H. JIANG and H. C. HUANG, 2011. Control of postharvest botrytis fruit rot of strawberry by volatile organic compounds of *Candida intermedia*. *Phytopathology*, 101: 859-869.
- HUNG, R., S. LEE and J. W. BENNETT, 2013. *Arabidopsis thaliana* as a model system for testing the effect of *Trichoderma* volatile organic compounds. *Fungal ecology*, 6: 19-26.
- JU, K. H., S. H. LEE, C. S. KIM, E. K. LIM, K. H. CHOI, H. G. KONG, D. W. KIM, S. W. LEE, and B. J. MOO, 2006. Biological Control of Strawberry Gray Mold Caused by *Botrytis cinerea* Using *Bacillus licheniformis* N1 Formulation. *Journal of Microbiology and Biotechnology*, 17: 438-444.
- KARABULUT, O. A., H. TEZCAN, A. DAUS, L. COHEN, B. WIESS and S. DROBY, 2004. Control of preharvest and postharvest fruit rot in strawberry by *Metschnikowia fructicola*. *Biocontrol science and technology*, 14: 513-521.
- KULAKIOTU, E. K., C. C. THANASSOULOPOULOS and E. M. SFAKIOTAKIS, 2004a. Biological control of *Botrytis cinerea* by volatiles of 'Isabella' grapes. *Phytopathology*, 94: 924-931.
- KULAKIOTU, E. K., C. C. THANASSOULOPOULOS and E. M. SFAKIOTAKIS, 2004b. Postharvest biological control of *Botrytis cinerea* on kiwifruit by volatiles of 'Isabella' grapes. *Phytopathology*, 94: 1280-1285.
- LIMA, G., A. IPPOLITO, F. NIGRO and M. SALERNO, 1997. Effectiveness of *Aureobasidium pullulans* and *Candida oleophila* against postharvest strawberry rots. *Postharvest Biology and Technology*, 10: 169-178.
- LIU, X. M. and H. ZHANG, 2015. The effects of bacterial volatile emissions on plant abiotic stress tolerance. *Frontiers in Plant Science*, 6:774.
- MAURIELLO, G., R. MARINO, M. DAURIA, G. CERONE and G. L. RANA, 2004. Determination of volatile organic compounds from truffles via SPME-GC-MS. *Journal of Chromatographic Science*, 42: 299-305.
- MERCIER, J. and J. I. JIMÉNEZ, 2004. Control of fungal decay of apples and peaches by the biofumigant fungus *Muscodorus albus*. *Postharvest Biology and Technology*, 31: 1-8.
- MERCIER, J. and J. I. JIMÉNEZ, 2005. Control of green mold and sour rot of stored lemon by biofumigation with *Muscodorus albus*. *Biological Control*, 32: 401-407.
- MORATH, S. U., R. HUNG and J. W. BENNETT, 2012. Fungal volatile organic compounds: A review with emphasis on their biotechnological potential. *Fungal biology reviews*, 26: 73-83.
- NAZMI, F. 2006. Identification of *Trichoderma* species in Southern Shores of Caspian Sea. Degree of Master of Science. Bu-Ali Sina University, Hamedan, Iran (In Persian with English summary).
- NEMČOVIČ, M., L. JAKUBÍKOVÁ, I. VÍDEN and V. FARKAŠ, 2008. Induction of conidiation by endogenous volatile compounds in *Trichoderma* spp. *FEMS Microbiology Letters*, 284: 231-236.
- SCHNABEL, G. and J. MERCIER, 2006. Use of a *Muscodorus albus* pad delivery system for the management of brown rot of peach in shipping cartons. *Postharvest Biology and Technology*, 42: 121-123.
- SIDDIQUEE, S., B. E. CHEONG, K. TASLIMA, H. KAUSAR and M. M. HASAN, 2012. Separation and identification of volatile compounds from liquid cultures of *Trichoderma harzianum* by GC-MS using three different capillary columns. *Journal of Chromatographic Science*, 50: 358-367.
- STOPPACHER, N., B. KLUGER, S. ZEILINGER, R. KRSKA and R. SCHUHMACHER, 2010. Identification and profiling of volatile metabolites of the biocontrol fungus *Trichoderma atroviride* by HS-SPME-GC-MS. *Journal of Microbiological Methods*, 81: 187-193.
- SUTTON, J. C., D. W. LI, G. PENG, H. YU, P. G. ZHANG, and R. M. VALDEBENITO-SANHUEZA, 1997. *Gliocladium roseum*: A versatile adversary of *Botrytis cinerea* in crops. *Plant Disease*, 81: 316-328.
- TRONSMO, A. and C. DENNIS, 1977. The use of *Trichoderma* species to control strawberry fruit rots. *Netherlands Journal of Plant Pathology*, 83: 449-455.
- VINALE, F., K. SIVASITHAMPARAM, E. L. GHISALBERTI, R. MARRA, M. J. BARBETTI, H. LI, S. L. WOO and M. LORITO, 2008. A novel role

- for *Trichoderma* secondary metabolites in the interactions with plants. *Physiological and Molecular Plant Pathology*, 72: 80–86.
- WAN, M. G., G. Q. LI, J. B. ZHANG, D. H. JIANG and H. C. HUANG, 2008. Effect of volatile substances of *Streptomyces platensis* F-1 on control of plant fungal diseases. *Biological Control*, 46: 552-559.
- WHEATLEY, R., C. HACKETT, A. BRUCE and A. KUNDZEWICZ, 1997. Effect of substrate composition on production of volatile organic compounds from *Trichoderma* spp. inhibitory to wood decay fungi. *International Biodeterioration and Bio-degradation*, 39: 199–205.
- WHITMORE, L. and B. A. WALLACE, 2004. The Peptaibol Database: a database for sequences and structures of naturally occurring peptaibols. *Nucleic Acids Research*, 32(Database issue): D593-D594.
- WILLIAMSON, B., B. TUDZYNSKI, P. TUDZYNSKI and J. A. L. VAN KAN, 2007. *Botrytis cinerea*: the cause of grey mould disease. *Molecular Plant Pathology*, 8: 561–580.
- WSZELAKI, A. L. and E. J. MITCHAM, 2003. Effect of combinations of hotwater dips biological control and controlled atmospheres for control of gray mold on harvested strawberries. *Postharvest Biology and Technology*, 27: 255-264.
- YOUNESI BANE, S. 2009. Study on the possibility of non-chemical control of gray mold on strawberry at kurdestan province. Degree of Master of Science. Bu-Ali Sina University, Hamedan, Iran (In Persian with English summary).
- ZHANG, H. Y., L. WANG, Y. DONG, S. JIANG, J. CAO, and R. J. MENG, 2007. Postharvest biological control of gray mold decay of strawberry with *Rhodotorula glutinis*. *Biological Control*, 40: 287-292.

